

BRUNO GONÇALVES LEITE; GUSTAVO CAVALCANTI WANDERLEY; TERESA MANUELA OLIVEIRA PUENTES; BRUNA PINHEIRO DE LUCA; JONATHAN SUYAN SOUSA ANDRADE; IRWINS EMANUEL FEITOZA SOUSA; STENIO SANTOS MOURA; ANTONIO MEDEIROS SOBRAL NETO; JÚLIA BADRA NOGUEIRA ALVES - HOSPITAL GETULIO VARGA, RECIFE, PE, Brasil ; DÉBORA MARÍLIA DE ANDRADE BENIGNO - UNIVERSIDADE CATÓLICA DE PERNAMBUCO, RECIFE, PE, Brasil

Introdução e Objetivo

As glândulas de Cowper, também chamadas de bulbouretral, são um par de glândulas exócrinas do tamanho de uma ervilha no sistema reprodutor masculino localizadas inferiormente ao ápice da próstata, ao nível do diafragma urogenital. Sendo assim, devido a sua localização próxima à uretra bulbar e ao ápice prostático, auxiliam na lubrificação do canal uretral¹. É necessário, que o médico tenha expertise com a localização, imagem e aparência, assim evitando erros diagnósticos e biópsias inoportunas.

O presente trabalho tem o objetivo de discutir e relatar um quadro de obstrução urinária infravesical secundária à hiperplasia da glândula de Cowper

Método

Foi realizada uma revisão de literatura, os artigos selecionados foram retirados das bases de dados PubMed e Scielo com uso das seguintes palavras-chave: Hiperplasia de glândula de Cowper, Obstrução infravesical e Glândula de Cowper.

Para a realização do relato de caso as informações foram obtidas a partir de observação do prontuário, entrevista médica e de imagens fotografadas dos métodos diagnósticos e cirúrgicos pelos quais o paciente foi submetido em hospital da região metropolitana de Recife-PE.

Figuras

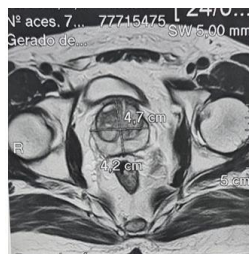


Fig 1

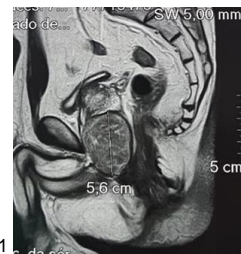


Fig 2



Fig 3



Fig 4



Fig 5

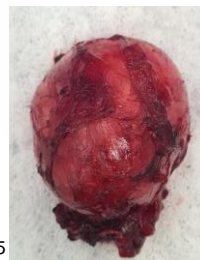


Fig 6

Resultados

Paciente de 60 anos, há 4 anos apresenta quadro de cialgia, sintomas obstrutivos do trato urinário inferior, associado a dor e dormência no pênis. Relata antecedentes cirúrgicos de varicocele e hidrocele. Durante investigação de cialgia, exames de imagem demonstraram lesão expansiva entre o músculo pubo coccígeo e o meato ureteral. Para avaliação complementar, foi solicitada ressonância magnética de pelve, que evidenciou nódulo circunscrito com sinal heterogêneo, na topografia da glândula de Cowper no lado esquerdo, medindo cerca de 5,6 x 4,7 x 4,4 de volume 60,2 cm³ (fig 1, 2 e 3), bem delimitada e de textura homogênea. A biópsia guiada por ultrassom obteve resultado sugestivo de hiperplasia prostática nodular, focos de atrofia e hiperplasia de remanescentes mesonéfricos e sem sinais de malignidade. Não foi observado critérios de malignidade na imuno histoquímica e a dosagem do antígeno prostático específico veio dentro da normalidade. Diante da queixa urinária obstrutiva, em 05/2023, o paciente foi submetido à cirurgia para ressecção de tumorção periuretral por via perineal (fig 4 e 5); sem intercorrências, a lesão foi retirada com margens mínimas (fig 6). Paciente evoluiu, no pós-operatório recente, com melhora do jato urinário e sem queixas de esvaziamento. No exame histopatológico confirmou-se hiperplasia de glândula de Cowper.

Conclusão

Por serem de tamanhos mínimos, a hiperplasia de glândula de Cowper, são achados incidentais de exame de imagem. Contudo, fragmentos da glândula podem ser encontrados em amostras prostáticas, particularmente durante biópsias de lesões apicais, devido à sua proximidade com essa região². Sobre histopatologia, são caracterizados por arranjo glandular compacto composto por células contendo mucina com núcleos pequenos e nucléolos imperceptíveis. Por serem unidades glandulares compactadas, As glândulas de Cowper podem ser diagnosticadas erroneamente como adenocarcinoma prostático³. As características da ressonância magnética da hiperplasia benigna da doença de Cowper glândula não foi relatada na literatura.

Diante do exposto, o caso relatado se mostra bastante raro, o que nos motivou a realização de uma revisão da literatura sobre o tema.

Referências

1. Chughtai B, Sawas A, O'Malley RL, et al. A neglected gland: a review of Cowper's gland. Int J Androl. 2005;28:74.
2. Saboorian MH, Huffman H, Ashfaq R, et al. Distinguishing Cowper's glands from neoplastic and pseudoneoplastic lesions of prostate: immunohistochemical and ultrastructural studies. Am J Surg Pathol. 1997;21:1069.
3. Desai, S., Jia, L., de Leon, A. D., & Costa, D. N. (2021). Rare prostate cancer mimic on multiparametric MRI: Cowper's gland hyperplasia. Urology Case Reports, 38, 101675.